

**О БЕЗОПАСНЫХ РАЗМЕРАХ ТРЕЩИН
ПРИ СЛУЧАЙНОМ НАГРУЖЕНИИ**

В. В. БОЛОТИН

(*Москва*)

Задача прогнозирования индивидуального остаточного ресурса конструкций была поставлена в [1]. Решение этой задачи требует определения апостериорных вероятностных характеристик поведения конструкций на основании априорных вероятностных данных о нагрузках и материалах, а также совокупности всех данных о предыстории нагружения и поведении конструкций. При прогнозировании используются результаты решения ряда задач механики, среди которых одной из важнейших является следующая: зная число, расположение и размеры трещин в элементе конструкции в заданный момент времени, предсказать развитие этих трещин во времени и оценить вероятность того, что на заданном отрезке времени ни одно из этих трещин не достигнет критического размера. Некоторые вопросы развития трещин под действием случайных нагрузок рассматривались в [2-4]. В предлагаемой работе дается решение задачи об определении безопасных размеров трещин, которые обеспечивают неразрушение конструктивного элемента на заданном отрезке времени с заданной вероятностью.¹

1. Пусть в момент $t=0$ в теле обнаружено m субкритических трещин размером $l_j(0)$ ($j=1, \dots, m$). При $t>0$ тело подвергается действию случайных нагрузок; при этом в окрестности кончиков трещин возникают номинальные напряжения $s_j(t)$ ($j=1, \dots, m$). Полагая, что размеры трещин малы по сравнению с характерными размерами тела и масштабом изменения поля номинальных напряжений, что трещины — неветвящиеся и расстояния между ними таковы, что их взаимодействие пренебрежимо мало, будем определять размеры субкритических трещин при $t>0$ как

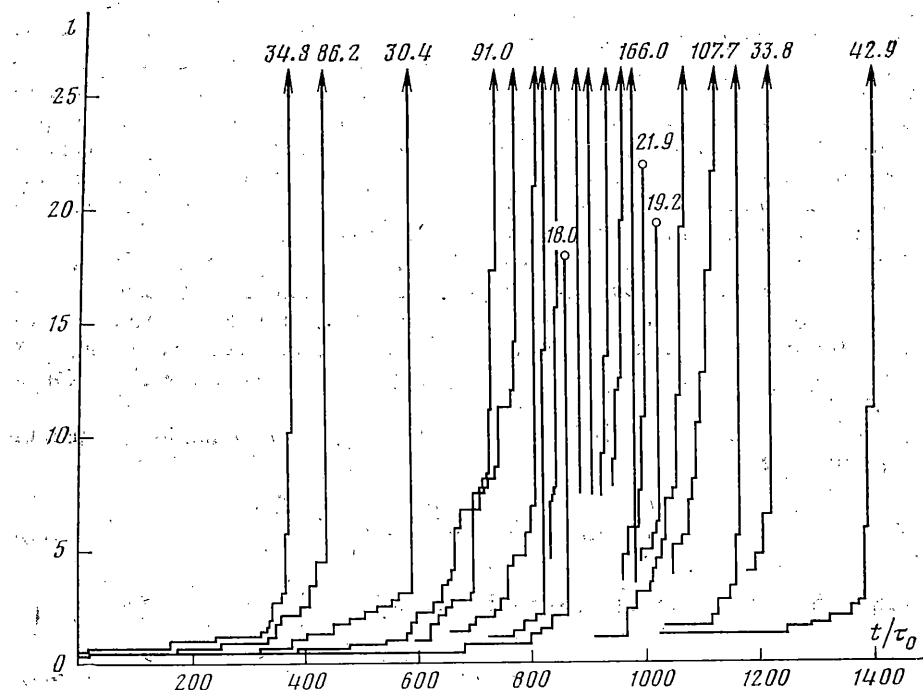
$$l_j(t) = H[s_j(\tau)]_{\substack{\tau=t \\ \tau=0}} \quad (1.1)$$

Здесь H — некоторый функционал от процесса изменения номинального напряжения $s_j(\tau)$ на отрезке $[0, t]$. Пусть следующий профилактический осмотр конструкции производится при $t=T$. Совокупность трещин, обнаруженных при $t=0$, будем считать безопасной, если на отрезке $[0, T]$ с заданной достаточно близкой к единице вероятностью R_* (например, $R_*=0.99; 0.999$ и т. п. [5]) будут выполняться неравенства $l_j(t) < l_j^*(t)$ ($j=1, \dots, m$). При этом $l_j^*(t)$ — критический размер для j -й трещины, зависящий от значения номинального напряжения $s_j(t)$ в данный момент времени. Вероятность неразрушения дается соотношением

$$R(t) = P\{l_j(\tau) < l_j^*(\tau); \quad j=1, \dots, m; \quad \tau \in [0, t]\} \quad (1.2)$$

где $P(A)$ — вероятность случайного события A . Если вероятность (1.2) вычислена как функция начальных параметров трещин и вероятностных ха-

¹ Результаты являются составной частью доклада автора «Надежность конструкций» на Международном симпозиуме по перспективам развития механики твердого тела (Дельфт, 13–15 июня 1979 г.).



Фиг. 1

рактеристик процесса нагружения, то для любого заданного значения R_* определяется максимально допустимый отрезок времени T до ближайшего профилактического осмотра. Обратно; если время до ближайшего осмотра задано, то соотношение (1.2) позволяет решить вопрос, можно ли обнаруженное множество трещин рассматривать как безопасное.

Вычисление вероятности (1.2) сводится к задачам теории выбросов случайных процессов. Размерность рассматриваемого процесса в общем случае равна $2m$, причем компоненты этого процесса стохастически связаны между собой как вследствие связности номинальных напряжений, так и в силу соотношений (1.1). Все это усложняет решение задачи. На фиг. 1 представлены результаты математического моделирования процесса развития усталостной трещины начального размера $l_0=0.5$ мм под действием узкополосного нормального процесса $s(t)$ с преобладающим периодом τ_0 . Развитие трещины до критического размера l_* моделировалось при помощи уравнения Пэриса – Эрдогана, а критическая длина вводилась, как обычно, по Гриффитсу – Ирвину [2, 6]. Разные реализации процесса $l(t)$ соответствуют разным реализациям случайного процесса $s(t)$. Обращает на себя внимание не только значительный разброс размеров трещин в каждый фиксированный момент времени, но и существенный разброс критических размеров. Величины некоторых из них в мм указаны у концов кривых. Из-за разброса нагрузочных реализаций в одном случае образец разрушился после 470 циклов при критическом размере $l_*=86.2$ мм, а в другом случае просуществовал до 1030 циклов, разрушившись при критическом размере $l_*=19.2$ мм.

2. Рассмотрим вспомогательную задачу о нахождении закона распространения размера одиночной неветвящейся трещины, имевшей при $t=0$ начальный размер l_0 . Пусть уравнение (1.1) имеет вид

$$\frac{dl}{dt} = \frac{c}{\tau_0} g_1(l) g_2(s) \quad (2.1)$$

где c – некоторый постоянный коэффициент, τ_0 – постоянная времени, $g_1(l)$ и $g_2(s)$ – функции размера трещины l и номинального напряжения s .

соответственно. Мультиплекативная структура правой части в дальнейшем имеет существенное значение. К уравнению типа (2.1) приводят многие известные модели субкритического роста трещин. Так, в однопараметрической теории разрушения скорость роста трещины при длительном (нециклическом) нагружении часто полагается степенной функцией коэффициента интенсивности напряжений $K=sl^{n/2}$. Здесь и далее постоянные множители в выражениях для коэффициентов интенсивности для простоты введены в величину номинальных напряжений. При этом $g_1(l)=l^{n/2}$, $g_2(s)=s^n$, где n — показатель степени при коэффициенте интенсивности. Если нагружение — циклическое, то обычно используется уравнение Пэриса — Эрдогана [6], в котором скорость роста усталостной трещины полагается степенной функцией от приращения коэффициента интенсивности в пределах одного цикла. Пусть процесс $s(t)$ — узкополосный с огибающей $s_e(t)$. Тогда приближенно $g_1(l)=l^{n/2}$, $g_2(s)=2^n s_e^n$.

Интегрируя уравнение (2.1) на отрезке $[0, t]$ при начальном условии $l(0)=l_0$, получим

$$W(l|l_0) = \frac{\tau_0}{c} \int_{l_0}^l \frac{dl}{g_1(l)} = w(t) \quad (2.2)$$

где в правой части стоит случайная функция

$$w(t) = \int_0^t g_2[s(\tau)] d\tau \quad (2.3)$$

Задача состоит в том, чтобы по заданным характеристикам процесса $s(t)$ найти закон распределения процесса $l(t|l_0)$. Полное и точное решение такой задачи, по-видимому, неосуществимо. Однако нетрудно получить приближенное и вместе с тем достаточно универсальное решение, если для интеграла (2.3) выполняются условия центральной предельной теоремы. Эти условия, как известно [7], сводятся к требованию достаточной перемешанности подынтегрального выражения в правой части (2.3) и к некоторым ограничениям на моменты от этого процесса. Достаточная перемешанность будет иметь место, если время корреляции τ_c процесса $s(t)$ достаточно мало по сравнению с временем t , при которых определяется размер трещины. Ограничения на моменты не очень строги, так что выполняются почти для всех моделей непрерывных случайных нагрузок, которые могут встретиться в приложениях. Если условия теоремы выполнены, то для функции распределения $F_w(w; t)$ значений процесса $w(t)$ имеет место асимптотическое соотношение

$$F_w(w; t) \sim \Phi \left\{ \frac{w - E[w(t)]}{\sigma_w(t)} \right\}, \quad \Phi(u) = \frac{1}{\sqrt{2\pi}} \int_{-\infty}^u e^{-z^2/2} dz \quad (2.4)$$

где $E[w(t)]$ — математическое ожидание процесса $w(t)$, $\sigma_w^2(t)$ — его дисперсия, $\Phi(u)$ — функция нормированного распределения Гаусса. Учитывая (2.3), найдем

$$E[w(t)] = \int_0^t E[g_2[s(\tau)]] d\tau \quad (2.5)$$

$$E[w^2(t)] = \int_0^t \int_0^t E\{g_2[s(\tau_1)] g_2[s(\tau_2)]\} d\tau_1 d\tau_2$$

так что для вычисления функций, входящих в асимптотическую формулу (2.4), необходимо знать плотности одноточечного $p(s; t)$ и двухточечного $p(s_1, s_2; t_1, t_2)$ распределений процесса $s(t)$. В частности, если последний процесс — стационарный, то [1]

$$\mathbf{E}[w(t)] = \mu t, \quad \sigma_w^2(t) \approx vt \quad (2.6)$$

$$\mu = \mathbf{E}\{g_2[s(t)]\}, \quad v = 2 \int_0^\infty K_{g_2}(\tau) d\tau$$

где $K_{g_2}(\tau)$ — корреляционная функция процесса $g_2[s(t)]$. Равенство для дисперсии в (2.6) — приближенное; оно выполняется тем точнее, чем меньше время корреляции τ_c по сравнению с t .

После того как распределение функции (2.3) найдено, дальнейшие вычисления трудностей не представляют. Замечая, что $W(l|l_0)$ — возрастающая функция от l , получим для функции распределения $F_l(l|l_0)$ размеров трещин, имевших при $t=0$ длину l_0 , соотношение $F_l(l; t|l_0) = F_w[W(l|l_0); t]$. Отсюда с учетом (2.4) получаем:

$$F_l(l; t|l_0) \sim \Phi \left\{ \frac{W(l|l_0) - \mathbf{E}(w(t))}{\sigma_w(t)} \right\} \quad (2.7)$$

Плотность вероятности $p_l(l; t|l_0)$, математическое ожидание $\mathbf{E}[l(t|l_0)]$ и другие характеристики распределения процесса $l(t|l_0)$ выражаются непосредственно через функцию (2.7). Представление о росте трещины дает ее характеристическая длина $l_c(t|l_0)$, равная корню уравнения $W(l|l_0) = \mathbf{E}[w(t)]$. Как видно из (2.7), при малом разбросе эта величина будет близка к математическому ожиданию $\mathbf{E}[l(t|l_0)]$. На фиг. 2 представлены некоторые графики зависимости l_c от l_0 и t . Здесь и далее все размеры трещин даны в $мм$. Графики построены для случая, когда напряжение $s(t)$ — узкополосный нормальный процесс со среднеквадратическим значением $s_r = 2 \cdot 10^8 \text{ Нм}^{-2}$, а рост трещины описывается уравнением Пэриса — Эрдогана с показателем степени $n=4$ и с постоянной $c=10^{-37} \text{ Н}^{-4} \text{ м}^7$.

3. Безопасные длины трещин проще всего назначаются в том случае, когда предельные значения l_* заданы. Тогда при наличии одной трещины вероятность неразрушения (1.2) определяется как $R(t) = \mathbf{P}\{l(t|l_0) < l_*\}$. Отсюда $R(t) = 1 - F_l(l_*; t|l_0)$, где функция $F_l(l; t|l_0)$ вычисляется по формуле (2.7). Однако, как было показано путем математического моделирования (см., например, фиг. 1), разброс критических значений l_* , вызванный разбросом нагружочных реализаций, имеет такой же порядок, как и разброс длин $l(t|l_0)$. Поскольку первичная вероятностная информация, как правило, относится к нагрузкам и к номинальным напряжениям, то целесообразно записать соотношение (1.2) в терминах напряжений:

$$R(t) = \mathbf{P}\{s_j(\tau) < s_j^*(\tau); \quad j=1, \dots, m; \quad \tau \in [0, t]\} \quad (3.1)$$

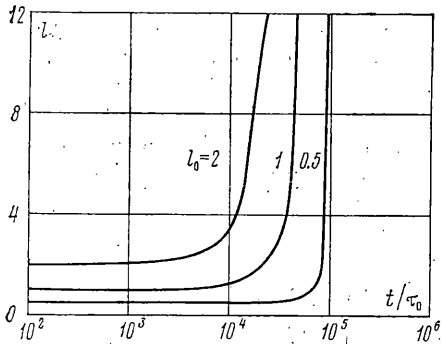
Здесь $s_j^*(t)$ — критическое напряжение для j -й трещины, зависящее от ее размера $l(t|l_0)$ в рассматриваемый момент времени. В рамках концепции Гриффитса — Ирвина $s_j^*(t) = K_*[l_j(t|l_0)]^{-1/2}$, где K_* — критическое значение коэффициента интенсивности. Таким образом, вычисление вероятности неразрушения сводится к определению вероятности пребывания процесса с компонентами $s_j(t)$ и $s_j^*(t)$ ($j=1, \dots, m$) в области $s_j - s_j^* < 0$.

Пусть найдено математическое ожидание $\lambda(t)$ числа выбросов из этой области в единицу времени (аналог интенсивности отказов в теории надежности). Если эти выбросы редкие, то вероятность неразрушения (3.1)

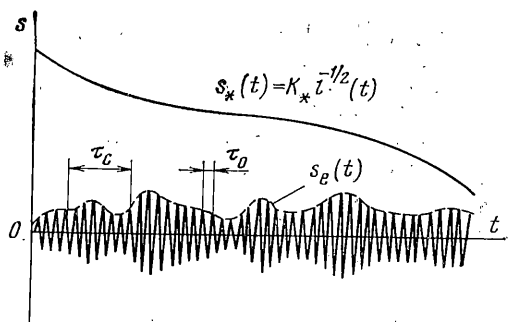
приближенно вычисляется по экспоненциальной формуле [8, 9]:

$$R(t) \approx \exp \left[- \int_0^t \lambda(\tau) d\tau \right] \quad (3.2)$$

4. В данной задаче вычисление этих характеристик усложняется из-за того, что все компоненты процесса в общем случае оказываются стохастически связанными. Поясним вычисления на простейшем примере, когда $m=1$. Пусть номинальное напряжение $s(t)$ представляет собой стационар-



Фиг. 2



Фиг. 3

ный узкополосный нормальный процесс с равным нулю математическим ожиданием, дисперсией σ_s^2 и корреляционной функцией $K_s(\tau) = \sigma_s^2 \rho(\tau) \cos \omega_0 \tau$. Здесь $\rho(\tau)$ — дважды дифференцируемая медленно изменяющаяся на отрезке $\tau_0 = 2\pi/\omega_0$ функция. При этом эффективная частота огибающей $s_e(t)$ процесса $s(t)$ удовлетворяет условию $\omega_e = |\rho''(0)|^{1/2} \ll \omega_0$. Пусть процесс роста трещины $l(t|l_0)$ является достаточно медленным по сравнению с процессом $s_e(t)$ (фиг. 3). В этих условиях допустимо пренебречь взаимосвязанностью процессов $s_e(t)$ и $s_*(t)$, рассматривая вначале выбросы процесса $s_e(t)$ за постоянный заданный уровень s_* и осредненный найденный результат по всем возможным значениям s_* :

$$\lambda(t) = \int_0^\infty \Lambda(s_*) p_*(s_*; t) ds_* \quad (4.1)$$

Здесь $\Lambda(s_*)$ — интенсивность отказов как функция уровня s_* . При умеренно низких уровнях s_* интенсивность отказов $\Lambda(s_*)$ определяется как математическое ожидание в единицу времени числа выбросов рэлеевского процесса $s_e(t)$, а при очень высоких уровнях s_* (когда понятие огибающей утрачивает смысл) — как математическое ожидание числа выбросов нормального процесса $s(t)$:

$$\Lambda(s_*) = \min \left\{ \frac{\omega_e}{\sqrt{2\pi} \sigma_s} s_* \exp \left(-\frac{s_*^2}{2\sigma_s^2} \right), \frac{\omega_0}{2\pi} \exp \left(-\frac{s_*^2}{2\sigma_s^2} \right) \right\}$$

Для более грубой оценки аппроксимируем плотность распределения $p_*(s_*; t)$ при помощи дельта-функции, принимая за характерное значение s_{**} корень уравнения

$$W[(K_*/s_{**})^2 | l_0] = \mu t \quad (4.2)$$

Оценка для вероятности неразрушения (3.2) с учетом формул (4.1) и (4.2) принимает вид

$$R(t) \approx \exp \left\{ - \int_0^t \Lambda[s_{**}(\tau)] d\tau \right\} \quad (4.3)$$

Некоторые результаты вычислений показаны на фиг. 4-6, где представлено изменение во времени характеристики $\lambda(t)$, вероятности неразрушения $R(t)$ и плотности вероятности $p(T)$ времени T до разрушения. Вычисления проведены для процесса $s(t)$ с нормированной корреляционной функцией, $\rho(\tau) = \exp(-\tau^2/\tau_c^2)$. Коэффициенты μ и v из формулы (2.6) вычисляются аналогично тому, как это сделано для континуальной модели накопления усталостных повреждений в [1]. При этом

$$\begin{aligned} \mu &= \sigma_s^n 2^{3n/2} \Gamma \left(1 + \frac{n}{2} \right), \quad v = \sigma_s^{2n} 2^{3n} \sum_{\alpha=1}^{\infty} B_{\alpha} \tau_{\alpha}, \quad \tau_{\alpha} = 2 \int_0^{\infty} \rho^{2\alpha}(\tau) d\tau \\ B_{\alpha} &= \sum_{\beta=1}^{\alpha} \frac{\alpha! (-1)^{\beta}}{(\beta!)^2 (\alpha-\beta)!} \left[\Gamma \left(1 + \alpha + \frac{n}{2} \right) - \Gamma(1+\alpha) \Gamma \left(1 + \frac{n}{2} \right) \right] \end{aligned}$$

Вычисления выполнены для значений $\sigma_s = 2 \cdot 10^8 \text{ Нм}^{-2}$, $\omega_e = 0.05 \omega_0$, $n = 4$, $c = 10^{-37} \text{ Н}^{-4} \text{ м}^7$, $K_*^2 = 10^{15} \text{ Н}^2 \text{ м}^{-3}$.

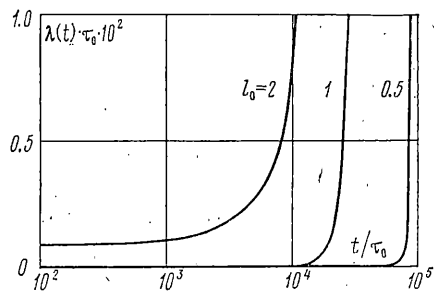
5. Обычно требуется обеспечение неразрушения с высокой степенью надежности. Высокий уровень надежности целесообразно задавать [9] при помощи логарифмической меры $r = \lg(1-R)^{-1}$. При $R=0.999\dots$ мера r просто равна «числу девяток». Если $1-R(t) \ll 1$, то возможно пренебрежение далеко идущих упрощений без снижения точности. Эти упрощения носят асимптотический характер в том смысле, что их точность будет тем выше, чем ближе к единице вероятность неразрушения $R(t)$.

Например, вместо формулы (3.2) в этом случае получается соотношение

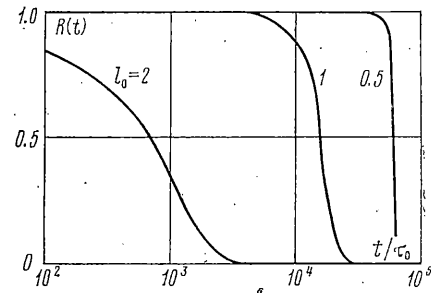
$$r(t) \sim -\lg \left[\int_0^t \lambda(\tau) d\tau \right]. \quad (5.4)$$

Некоторые результаты вычислений в области малых вероятностей разрушения приведены на фиг. 7. Эти результаты получены при $l_0=0.5 \text{ мм}$; остальные исходные данные такие же, что и в предыдущих примерах. На фиг. 7 нанесены также кривые, соответствующие случаю, когда при $t=0$ в теле обнаружено m трещин одинакового размера, причем номинальные напряжения для всех трещин одинаковы. Имея графики такого типа, нетрудно оценить отрезок времени, в пределах которого трещины заданной начальной длины с заранее заданной весьма близкой к единице вероятностью не достигнут критического значения.

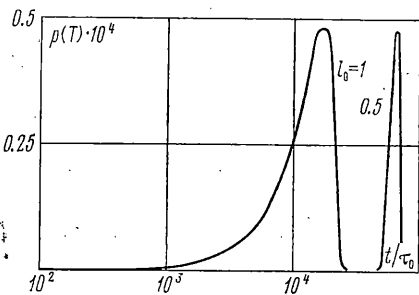
Построенное решение обобщается на ситуацию, когда множество трещин при $t=0$ задается вероятностным способом — при помощи совместной плотности вероятности $p(l_1, \dots, l_m; 0)$ для совокупности M трещин. При этом $M \geq m$, т. е. предусматриваются вакансии для трещин нулевого размера. Такая ситуация отражает несовершенство существующих методов неразрушающего контроля и обнаружения трещин. Известно [4], что при использовании ультразвуковых методов обнаруживается лишь около 20% от общего числа трещин, длина которых менее 1 мм. Байесовский подход позволяет произвести оценку плотности вероятности $p(l_1, \dots, l_m; 0)$ по



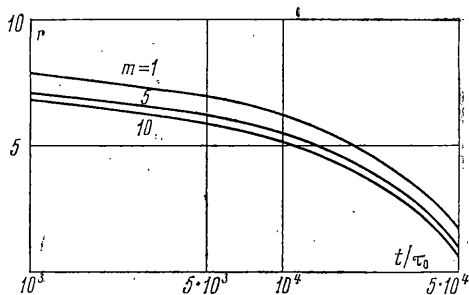
Фиг. 4



Фиг. 5



Фиг. 6



Фиг. 7

эмпирическому распределению размеров обнаруженных трещин, если известны соответствующие априорные вероятности. Следующий шаг состоит в вычислении совместной плотности $p(l_1, \dots, l_m; t)$ при $t > 0$. При этом выведенные выше формулы можно трактовать как формулы для соответствующих условных распределений, что отчасти отражено в обозначениях (2.2), (2.7) и др.

Поступила 6 VII 1979

ЛИТЕРАТУРА

1. Болотин В. В. О прогнозировании надежности и долговечности машин. Машиноведение, 1977, № 5.
2. Черепанов Г. П. Механика хрупкого разрушения. М., «Наука», 1974.
3. Yang J.-N., Trapp W. J. Joint aircraft loading/structure response statistics of time-to-service crack initiation. J. Aircraft, 1976, vol. 13, No. 4.
4. Heller R. A., Stevens G. H. Bayesian estimation of crack initiation times from service data. J. Aircraft, 1978, vol. 15, No. 11.
5. Payne A. O. The fatigue of aircraft structures. In: Progress in Fatigue and Fracture, Oxford, Pergamon Press, 1976.
6. Paris P. C. Fatigue — an interdisciplinary approach. Syracuse, N. Y., Syracuse University Press, 1965.
7. Ибрагимов И. А., Линник Ю. В. Независимые и стационарно связанные величины. М., «Наука», 1965.
8. Болотин В. В. Теория надежности механических систем с конечным числом степеней свободы. Изв. АН СССР, МТТ, 1969, № 5.
9. Болотин В. В. Применение методов теории вероятностей и теории надежности в расчетах сооружений. М., Стройиздат, 1971.